

# AGITATEUR MEDICAL

## ANALYSE FONCTIONNELLE

### Q1 – Fonctions d'adaptation (Fonctions de contraintes)

Fa1 : Etre d'une manipulation aisée pour l'utilisateur.

Fa2 : Assurer la compatibilité des matériaux du dispositif avec le milieu ambiant (atmosphère de la salle blanche).

Fa3 : Faciliter les branchements entre les tuyauteries et le dispositif, et opter pour des tuyauteries souples autorisant les mouvements d'agitation.

Fa4 : Minimiser l'encombrement du dispositif afin d'assurer son intégration sous la hotte à flux laminaire.

## ETUDE MECANIQUE DE L'AGITATEUR

### MODELISATION

#### Q2 – Degré d'hyperstatisme du modèle proposé

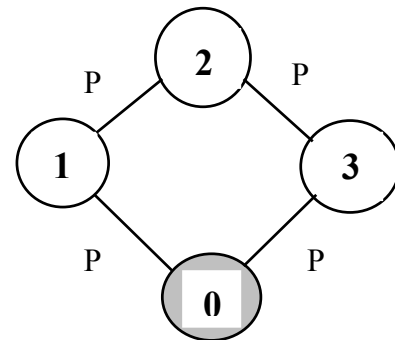
Le modèle proposé est un système 4 barres.

Sa mobilité cinématique vaut  $m_c = 1$ ,  
l'entrée étant la rotation de l'excentrique 1.

Le nombre total d'inconnues cinématiques vaut  $N_C = 4$ .

Grâce à la relation de la mobilité, on en déduit le degré d'hyperstatisme :

$$h = m_c + 6 - N_C \Rightarrow \underline{h = 3} \quad \textbf{Système hyperstatique d'ordre 3}$$



#### Q3 – Q4 – Nouveau modèle rendant le système isostatique – Degré de mobilité

Il suffit de substituer aux liaisons pivot  $L_{21}$  et  $L_{32}$  des liaisons **rotules**.

Alors  $N_C = 8$ .

De toute évidence  $m_c = 2$     mobilité utile  $m_u = 1$     Rotation de l'excentrique 1.  
mobilité interne  $m_i = 1$     Rotation propre de la bielle 2 / (A,B)

Degré d'hyperstatisme :  $h = m_c + 6 - N_C \Rightarrow \underline{h = 0} \quad \textbf{Système isostatique}$

### CINEMATIQUE GRAPHIQUE

#### Q5 – Etude cinématique en 2D

Les liaisons entre les solides étant des pivots d'axes parallèles à  $(O_1, \vec{z})$ , chacun des solides a donc un mouvement plan sur plan parallèle au plan de référence  $(O_1, \vec{x}, \vec{y})$ , par conséquent on traite la cinématique en 2D.

**AGITATEUR MEDICAL****O6 – Construction graphique de  $\vec{V}_{G_C,3/0}$**  (Voir le Document Réponse page suivante)

• On construit  $\vec{V}_{O_2,1/0}$  sachant que :  $\vec{V}_{O_2,1/0} = \vec{\Omega}_{1/0} \wedge \overrightarrow{O_1O_2}$  , avec  $\underline{\omega_{1/0}} = -12 \text{ rd/s}$   
 $\vec{V}_{O_2,2/0} = \vec{V}_{O_2,1/0}$  avec :  $\|\vec{V}_{O_2,2/0}\| = 300 \text{ mm/s} \rightarrow$  graphiquement :  $30 \text{ mm}$ .

• On construit  $\vec{V}_{B,3/0}$  sachant que :

\*  $\vec{V}_{B,3/0} \perp \overrightarrow{O_3B}$  , en effet :  $\vec{V}_{B,3/0} = \vec{\Omega}_{3/0} \wedge \overrightarrow{O_3B}$

\*  $\vec{V}_{B,3/0} = \vec{V}_{B,2/0}$

\* On exploite l'équiprojectivité du champ des vitesses de la bielle **2** dans son mouvement plan par rapport au bâti **0** :

$$\vec{V}_{B,2/0} \cdot \overrightarrow{BO_2} = \vec{V}_{O_2,2/0} \cdot \overrightarrow{BO_2} \Leftrightarrow \overrightarrow{BK} = \overrightarrow{O_2H}$$

• On trace le triangle des vitesses du bras **3** dans son mouvement par rapport au bâti **0** , ce qui permet de trouver graphiquement  $\vec{V}_{A,3/0}$  .

**On constate que :**  $\|\overrightarrow{O_3G_C}\| = \|\overrightarrow{O_3A}\|$  ,

par conséquent on construit  $\vec{V}_{G_C,3/0}$  tel que  $\vec{V}_{G_C,3/0} \perp \overrightarrow{O_3G_C}$

Sur l'épure, à  $\|\vec{V}_{G_C,3/0}\| \rightarrow 40 \text{ mm}$  , par conséquent :

$\|\vec{V}_{G_C,3/0}\| = 400 \text{ mm/s}$

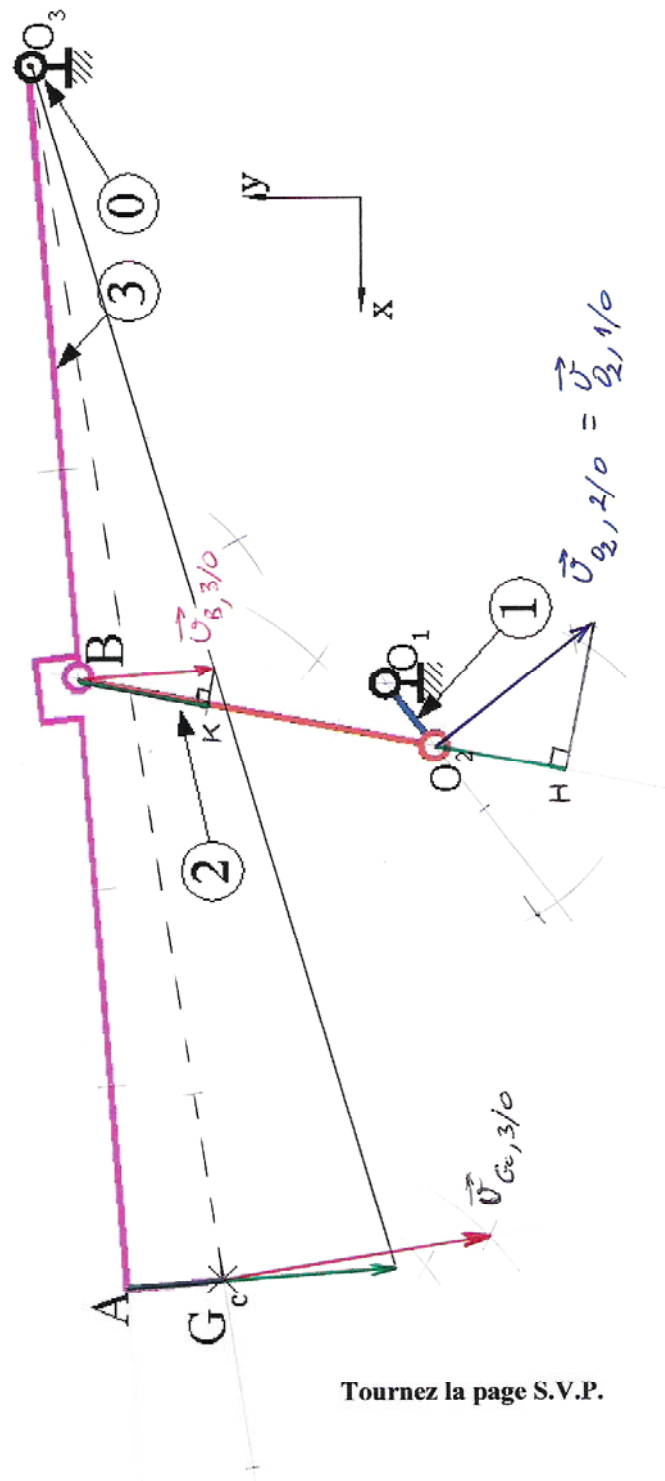
# AGITATEUR MEDICAL

## DOCUMENT REPONSE

### Question 6 :

échelle cinématique :  
1mm correspond à 10 mm/s

$$\|\vec{V}_{G_c,3/0}\| = 400 \text{ mm/s}$$



Tournez la page S.V.P.

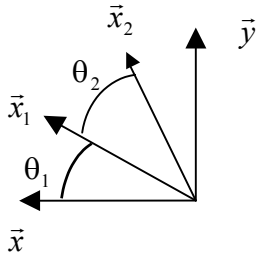
## AGITATEUR MEDICAL

### CINEMATIQUE ANALYTIQUE

#### Q7 – Détermination de la loi d'entrée-sortie du modèle du mécanisme

- a – Fermeture géométrique

$$\overrightarrow{O_1O_2} + \overrightarrow{O_2B} + \overrightarrow{BO_3} + \overrightarrow{O_3O_1} = \vec{0} \Leftrightarrow e \cdot \vec{x}_1 + b \cdot \vec{x}_2 - L \cdot \vec{x}_3 + c \cdot \vec{x} - d \cdot \vec{y} = \vec{0} \quad (I)$$



$$(I) \Leftrightarrow \begin{cases} e \cdot C\theta_1 + b \cdot C(\theta_1 + \theta_2) - L \cdot C\theta_3 + c = 0 & (a) \\ e \cdot S\theta_1 + b \cdot S(\theta_1 + \theta_2) - L \cdot S\theta_3 - d = 0 & (b) \end{cases}$$

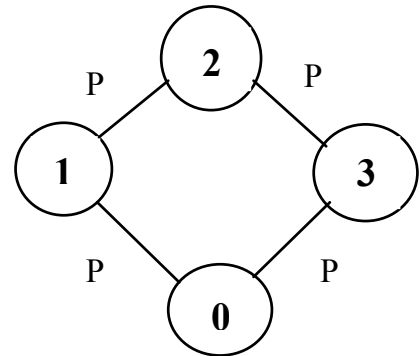
Légende :  $C = \cos$  ;  $S = \sin$

**Nota :** Je ferais personnellement, une figure plane dans une vue selon  $-\vec{z}$ , ce qui autorise une analyse plus conventionnelle.

- b – Fermeture cinématique

Les vecteurs sont exprimés par leurs composantes dans la base  $(\vec{x}, \vec{y}, \vec{z})$

$$\bullet \{V_{1/0}\}_{O_1} = \begin{Bmatrix} 0 & 0 \\ 0 & 0 \\ \omega_{1/0} & 0 \end{Bmatrix}_{O_1} \quad \text{avec } \omega_{1/0} = \dot{\theta}_1$$



$$\bullet \{V_{2/1}\}_{O_2} = \begin{Bmatrix} 0 & 0 \\ 0 & 0 \\ \omega_{2/1} & 0 \end{Bmatrix}_{O_2} \quad \text{avec } \omega_{2/1} = \dot{\theta}_2$$

$$\text{Or } \vec{V}_{O_1,2/1} = \vec{V}_{O_2,2/1} + \overrightarrow{O_1O_2} \wedge \vec{\Omega}_{2/1} \Rightarrow \{V_{2/1}\}_{O_1} = \begin{Bmatrix} 0 & e \cdot \omega_{2/1} \cdot S\theta_1 \\ 0 & -e \cdot \omega_{2/1} \cdot C\theta_1 \\ \omega_{2/1} & 0 \end{Bmatrix}_{O_1}$$

$$\bullet \{V_{3/2}\}_B = \begin{Bmatrix} 0 & 0 \\ 0 & 0 \\ \omega_{3/2} & 0 \end{Bmatrix}_B \quad \text{avec } \omega_{3/2} = -\dot{\theta}$$

## AGITATEUR MEDICAL

Or  $\vec{V}_{O_1,3/2} = \vec{V}_{B,3/2} + \vec{O_1B} \wedge \vec{\Omega}_{3/2} \Rightarrow$

$$\{V_{3/2}\}_{O_1} = \begin{Bmatrix} 0 & [e \cdot S\theta_1 + b \cdot S(\theta_1 + \theta_2)] \cdot \omega_{3/2} \\ 0 & -[e \cdot C\theta_1 + b \cdot C(\theta_1 + \theta_2)] \cdot \omega_{3/2} \\ \omega_{3/2} & 0 \end{Bmatrix}_{O_1}$$

$$\bullet \{V_{3/0}\}_{O_3} = \begin{Bmatrix} 0 & 0 \\ 0 & 0 \\ \omega_{3/0} & 0 \end{Bmatrix}_{O_3} \text{ avec } \omega_{3/0} = \dot{\theta}_3 \Rightarrow \{V_{3/0}\}_{O_1} = \begin{Bmatrix} 0 & d \cdot \omega_{3/0} \\ 0 & c \cdot \omega_{3/0} \\ \omega_{3/0} & 0 \end{Bmatrix}_{O_1}$$

Fermeture de la boucle :

$$\{V_{0/3}\}_Q + \{V_{3/2}\}_Q + \{V_{2/1}\}_Q + \{V_{1/0}\}_Q = \{0\} \quad (II)$$

$(II) \Leftrightarrow \begin{cases} -\omega_{3/0} + \omega_{3/2} + \omega_{2/1} + \omega_{1/0} = 0 & (1) \\ -d \cdot \omega_{3/0} + [e \cdot S\theta_1 + b \cdot S(\theta_1 + \theta_2)] \cdot \omega_{3/2} + e \cdot \omega_{2/1} \cdot S\theta_1 = 0 & (2) \\ -c \cdot \omega_{3/0} - [e \cdot C\theta_1 + b \cdot C(\theta_1 + \theta_2)] \cdot \omega_{3/2} - e \cdot \omega_{2/1} \cdot C\theta_1 = 0 & (3) \end{cases}$
---

Remarque : On constate que le rang du système d'équations scalaires cinématiques vaut  $r_c = 3$ , or le nombre total d'inconnues cinématiques est  $N_C = 4$ ; on retrouve donc la mobilité cinématique  $m_c = 1$  et le degré d'hyperstatisme  $h = m_c + 6 - N_C = 3$ .

### - c - Loi d'entrée-sortie

Il est préférable de reprendre la fermeture géométrique, on déduit du système des équations scalaires :

(a) :  $b \cdot C(\theta_1 + \theta_2) = L \cdot C\theta_3 - e \cdot C\theta_1 - c$

(b) :  $b \cdot S(\theta_1 + \theta_2) = L \cdot S\theta_3 - e \cdot S\theta_1 + d$

On élève chacune de ces expressions au carré :

$$b^2 \cdot C^2(\theta_1 + \theta_2) = L^2 \cdot C^2\theta_3 + e^2 \cdot C^2\theta_1 + c^2 - 2eL \cdot C\theta_1 \cdot C\theta_3 - 2cL \cdot C\theta_3 + 2ec \cdot C\theta_1$$

$$b^2 \cdot S^2(\theta_1 + \theta_2) = L^2 \cdot S^2\theta_3 + e^2 \cdot S^2\theta_1 + d^2 - 2eL \cdot S\theta_1 \cdot S\theta_3 + 2dL \cdot S\theta_3 - 2ed \cdot S\theta_1$$

## AGITATEUR MEDICAL

On additionne membre à membre :

$$b^2 = L^2 + e^2 + c^2 + d^2 - 2eL \cdot C(\theta_1 - \theta_3) + 2L \cdot (d \cdot S\theta_3 - c \cdot C\theta_3) - 2e \cdot (d \cdot S\theta_1 - c \cdot C\theta_1)$$

On dérive cette relation par rapport au temps :

$$0 = 0 + eL \cdot (\dot{\theta}_1 - \dot{\theta}_3) \cdot S(\theta_1 - \theta_3) + L \cdot \dot{\theta}_3 \cdot (d \cdot C\theta_3 + c \cdot S\theta_3) - e \cdot \dot{\theta}_1 \cdot (d \cdot C\theta_1 + c \cdot S\theta_1)$$

$$L \cdot [e \cdot S(\theta_1 - \theta_3) - d \cdot C\theta_3 - c \cdot S\theta_3] \cdot \dot{\theta}_3 = e \cdot [L \cdot S(\theta_1 - \theta_3) - c \cdot S\theta_1 - d \cdot C\theta_1] \cdot \dot{\theta}_1$$

$$\frac{\dot{\theta}_3}{\dot{\theta}_1} = \frac{e}{L} \cdot \frac{L \cdot \sin(\theta_1 - \theta_3) - c \cdot \sin\theta_1 - d \cdot \cos\theta_1}{e \cdot \sin(\theta_1 - \theta_3) - d \cdot \cos\theta_3 - c \cdot \sin\theta_3}$$

### **Q8 – Loi d'entrée-sortie approchée**

$\theta_3 \in [-7^\circ ; 7^\circ]$  , on fait les approximations suivantes :  $\cos \theta_3 \approx 1$  et  $\sin \theta_3 \approx 0$  et on a alors :

$$\sin(\theta_1 - \theta_3) \approx \sin \theta_1$$

$$\frac{\dot{\theta}_3}{\dot{\theta}_1} = \frac{e}{L} \cdot \frac{(L - c) \cdot \sin\theta_1 - d \cdot \cos\theta_1}{e \cdot \sin\theta_1 - d}$$

**Nota :** L'expression simplifiée dans l'énoncé présente une erreur de signe .

## DYNAMIQUE

### **Q9 – Expression littérale approchée du moment d'inertie $I_{O_{3z}}$ de l'ensemble {1}**

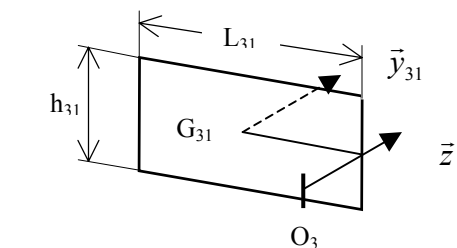
Plaque (1)

$$I_{O_{3z}}^1 = I_{G_{31}y_{31}}^1 + m_{31} \cdot \left( \frac{L_{31}}{2} \right)^2 \quad \text{Théo. de Huyghens}$$

$$I_{O_{3z}}^1 = \frac{m_{31}}{12} (L_{31}^2 + h_{31}^2) + m_{31} \cdot \left( \frac{L_{31}}{2} \right)^2$$

$$I_{O_{3z}}^1 = \frac{m_{31}}{12} (4 \cdot L_{31}^2 + h_{31}^2)$$

$$I_{O_{3z}}^1 = \frac{m_{31}}{3} L_{31}^2 \left( 1 + \frac{h_{31}^2}{4 \cdot L_{31}^2} \right) \quad \text{or} \quad \frac{h_{31}^2}{4 \cdot L_{31}^2} < \frac{1}{36} \ll 1 \quad \text{donc}$$



$$I_{O_{3z}}^1 \approx \frac{m_{31}}{3} L_{31}^2$$

## AGITATEUR MEDICAL

### Plaque (2)

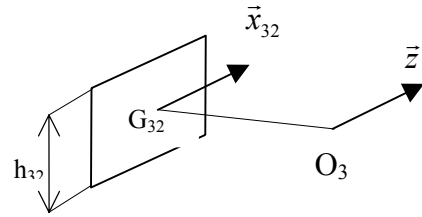
Hypothèses :  $e_3 \ll h_{32}$  ;  $G_{32}O_3 \approx L_{31}$

$$I_{O3z}^2 = I_{G32x32}^2 + m_{32} \cdot L_{31}^2 \quad \text{Théo. de Huyghens}$$

$$I_{O3z}^2 = \frac{m_{32}}{12} \cdot (h_{32}^2 + e_3^2) + m_{32} \cdot L_{31}^2 \approx \frac{m_{32}}{12} \cdot h_{32}^2 + m_{32} \cdot L_{31}^2$$

$$I_{O3z}^2 = m_{32} \cdot L_{32}^2 \cdot \left( 1 + \frac{h_{32}^2}{12 \cdot L_{31}^2} \right)$$

$$\frac{h_{32}^2}{12 \cdot L_{31}^2} < \frac{1}{432} \ll 1 \quad \text{donc} \quad \boxed{I_{O3z}^2 \approx m_{32} \cdot L_{32}^2}$$



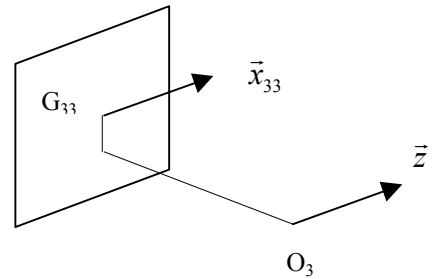
### Plaque (3)

$$I_{O3z}^3 = I_{G33x33}^3 + m_{33} \cdot (x^2 + y^2)$$

Dans l'expression de  $I_{G33x33}^3$  on néglige le terme

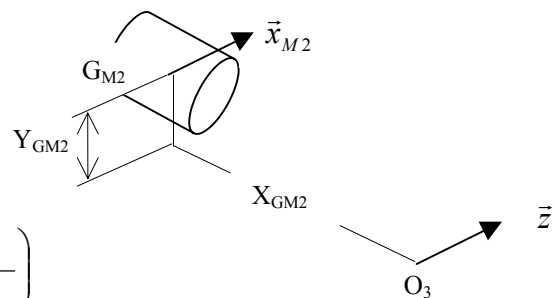
en  $e_3^2$  devant celui en  $h_{33}^2$  ; de même dans  $m_{33} \cdot (x^2 + y^2)$  on néglige le terme en  $y^2$  devant celui en  $x^2$ .

Il vient donc :  $\boxed{I_{O3z}^3 \approx m_{33} \cdot d_{33}^2}$  , en effet :  $x \neq d_{33}$ .



### Cylindre (M2)

$$I_{O3z}^{M2} = \frac{m_2}{12} \left( 3 \cdot \frac{D_{M2}^2}{4} + h_{M2}^2 \right) + m_2 \cdot (x_{GM2}^2 + y_{GM2}^2)$$



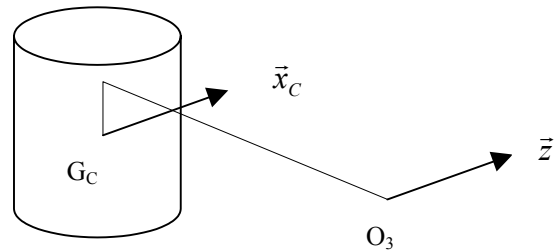
$$I_{O3z}^{M2} = m_2 \cdot x_{GM2}^2 \cdot \left( 1 + \frac{y_{GM2}^2}{x_{GM2}^2} + \frac{D_{M2}^2}{16 \cdot x_{GM2}^2} + \frac{h_{M2}^2}{12 \cdot x_{GM2}^2} \right)$$

$$1 + \frac{y_{GM2}^2}{x_{GM2}^2} + \frac{D_{M2}^2}{16 \cdot x_{GM2}^2} + \frac{h_{M2}^2}{12 \cdot x_{GM2}^2} \approx 1 + \frac{1}{25} + \frac{1}{16 \cdot 25} + \frac{1}{12 \cdot 9}$$

On fait donc l'approximation suivante :  $\boxed{I_{O3z}^{M2} = m_2 \cdot x_{GM2}^2}$

## AGITATEUR MEDICAL

### Ensemble ©



$$I_{O_3z}^C = \frac{m_{cr}}{12} \left( 3 \cdot \frac{D_{cr}^2}{4} + h_{cr}^2 \right) + m_{cr} \cdot (x_{Gc}^2 + y_{Gc}^2)$$

$$I_{O_3z}^C = m_{cr} \cdot x_{Gc}^2 \cdot \left( 1 + \frac{y_{Gc}^2}{x_{Gc}^2} + \frac{D_{cr}^2}{16 \cdot x_{Gc}^2} + \frac{h_{cr}^2}{12 \cdot x_{Gc}^2} \right)$$

$$1 + \frac{y_{Gc}^2}{x_{Gc}^2} + \frac{D_{cr}^2}{16 \cdot x_{Gc}^2} + \frac{h_{cr}^2}{12 \cdot x_{Gc}^2} < 1 + \frac{1}{13^2} + \frac{1}{16 \cdot 16} + \frac{1}{12 \cdot 25}$$

On fait donc l'approximation suivante :

$$I_{O_3z}^C \approx m_{cr} \cdot x_{Gc}^2$$

**Conclusion :**  $I_{O_3z} = 2 \cdot I_{O_3z}^1 + I_{O_3z}^2 + I_{O_3z}^3 + I_{O_3z}^{M2} + I_{O_3z}^C$

$$I_{O_3z} \approx \frac{2}{3} \cdot m_{31} \cdot L_{31}^2 + m_{32} \cdot L_{31}^2 + m_{33} \cdot d_{33}^2 + m_2 \cdot x_{G_{M2}}^2 + m_{cr} \cdot x_{Gc}^2$$

### O10 – Expression littérale du couple moteur $C_m$

On applique le théorème de l'énergie cinétique à l'ensemble {1} :

$$\frac{d}{dt} E_C(\{1\}/R_0) = P(\bar{1} \rightarrow 1/R_0) + P_{\text{int}}$$

Actions mécaniques extérieures à l'ensemble {1} :

- Action du stator de M1 sur le rotor : couple de moment  $C_m(t) \cdot \vec{z}$

$$\Rightarrow \text{Puissance galiléenne : } \underline{P(\text{Sta.} \rightarrow \text{Rot.}/R_0) = C_m \cdot \dot{\theta}_1}$$

- Actions de liaison de **0** sur **3** et de **0** sur **1** (Hyp. : liaisons parfaites)

$$\Rightarrow \text{Puissance galiléenne : } \underline{P(0 \rightarrow 3/R_0) = 0}$$

$$\underline{P(0 \rightarrow 1/R_0) = 0}$$

- Action de la pesanteur sur l'ensemble {1}

Puissance galiléenne

$$P(\text{pes.} \rightarrow 1/R_0) = -mg \cdot \vec{y} \cdot \vec{V}_{G,\{1\}/R_0} = -mg \cdot \vec{y} \cdot x_G \cdot \dot{\theta}_3 \cdot \vec{y}_3 = -mg \cdot x_G \cdot \dot{\theta}_3 \cdot \cos \theta_3$$



## AGITATEUR MEDICAL

Hyp. :  $\theta_3$  voisin de zéro  $\Rightarrow \cos \theta_3 \approx 1$

$$\Rightarrow \underline{P(\text{pes.} \rightarrow 1/R_0) = -mg \cdot x_G \cdot \dot{\theta}_3}$$

$$\text{Conclusion : } \underline{P(\bar{1} \rightarrow 1/R_0) = C_m \cdot \dot{\theta}_1 - mg \cdot x_G \cdot \dot{\theta}_3}$$

Actions mécaniques intérieures à l'ensemble {1} ou puissance des actions mutuelles de liaison

L'hypothèse liaisons parfaites  $\Rightarrow \underline{P_{int} = 0}$

Le mouvement de l'ensemble {1}/ $R_0$  étant une rotation d'axe fixe ( $O_3, \vec{z}$ ), il vient :

$$\underline{E_C(\{1\}/R_0) = \frac{1}{2} \cdot I_{O3z} \cdot \dot{\theta}_3^2}$$

T.E.C. :  $I_{O3z} \cdot \dot{\theta}_3 \cdot \ddot{\theta}_3 = C_m \cdot \dot{\theta}_1 - mg \cdot x_G \cdot \dot{\theta}_3$

$$C_m = \frac{1}{\dot{\theta}_1} \cdot (I_{O3z} \cdot \ddot{\theta}_3 + mg \cdot x_G) \cdot \dot{\theta}_3$$

### Q11 – Tableau des valeurs du couple moteur $C_m$ à différents instants

On exploite, à cet effet les courbes représentatives de  $\dot{\theta}_3$  et du produit  $\dot{\theta}_3 \cdot \ddot{\theta}_3$  en fonction du temps, fournies en annexe.

$$C_m \approx 0,05 \cdot \dot{\theta}_3 \cdot \ddot{\theta}_3 + 1 \cdot \dot{\theta}_3$$

t (s)	$\dot{\theta}_3$ (rd.s <sup>-1</sup> )	$\dot{\theta}_3 \cdot \ddot{\theta}_3$ (rd <sup>2</sup> .s <sup>-3</sup> )	$C_m$ (N.m)
0,1	- 1,6	5	-1,35
0,15	- 1,4	- 14	- 2,1
0,25	0	0	0
0,35	1,4	14	2,1

### Q12 – Fonctionnement du moteur M1

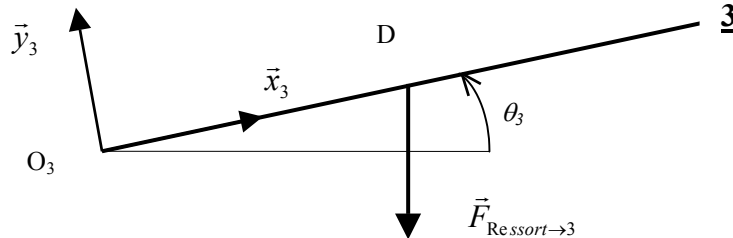
M1 fonctionne dans les quadrants :      **1**    en    **MOTEUR**  
    **4**    en    **FREIN**

## AGITATEUR MEDICAL

### Q13 – Présence du ressort – Nouvelle expression du couple moteur $C_m$

Nouvelle action mécanique extérieure à l'ensemble  $\{1\}$  : Action du ressort

Cas  $\theta_3 > 0$  Vue suivant  $(-\vec{z})$

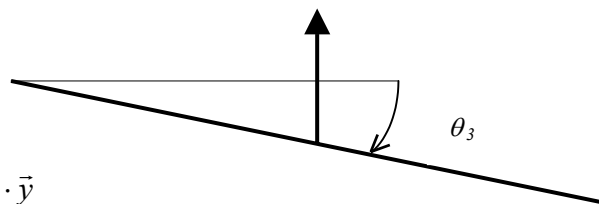


$$\vec{F}_{\text{Ressort} \rightarrow 3} = -k \cdot x_D \cdot \sin \theta_3 \cdot \vec{y} \approx -k \cdot x_D \cdot \theta_3 \cdot \vec{y}$$

$$\vec{V}_{D,3/0} = \vec{\Omega}_{3/0} \wedge \overrightarrow{O_3 D} = \dot{\theta}_3 \cdot \vec{z} \wedge x_D \cdot \vec{x}_3 = x_D \cdot \dot{\theta}_3 \cdot \vec{y}_3 \approx x_D \cdot \dot{\theta}_3 \cdot \vec{y}$$

$$\text{Puissance de l'action du ressort : } P(\text{ressort} \rightarrow 3 / R_0) = -k \cdot x_D^2 \cdot \theta_3 \cdot \dot{\theta}_3$$

Cas  $\theta_3 < 0$  Vue suivant  $(-\vec{z})$



$$\vec{F}_{\text{Ressort} \rightarrow 3} = k \cdot x_D \cdot |\sin \theta_3| \cdot \vec{y}$$

$$\text{Or } |\sin \theta_3| = -\sin \theta_3 \Rightarrow \vec{F}_{\text{Ressort} \rightarrow 3} = -k \cdot x_D \cdot \sin \theta_3 \cdot \vec{y} \approx -k \cdot x_D \cdot \theta_3 \cdot \vec{y}$$

Conclusion :  $\forall$  le signe de  $\theta_3$  la puissance de l'action du ressort vaut :

$$P(\text{ressort} \rightarrow 3 / R_0) = -k \cdot x_D^2 \cdot \theta_3 \cdot \dot{\theta}_3$$

Le théorème de l'énergie cinétique appliqué à l'ensemble  $\{1\}$  donne :

$$I_{O3z} \cdot \dot{\theta}_3 \cdot \ddot{\theta}_3 = C_m \cdot \dot{\theta}_1 - mg \cdot x_G \cdot \dot{\theta}_3 - k \cdot x_D^2 \cdot \theta_3 \cdot \dot{\theta}_3$$

On en déduit :

$$C_m = \frac{1}{\dot{\theta}_1} \cdot (I_{O3z} \cdot \ddot{\theta}_3 + mg \cdot x_G + k \cdot x_D^2 \cdot \theta_3) \cdot \dot{\theta}_3$$

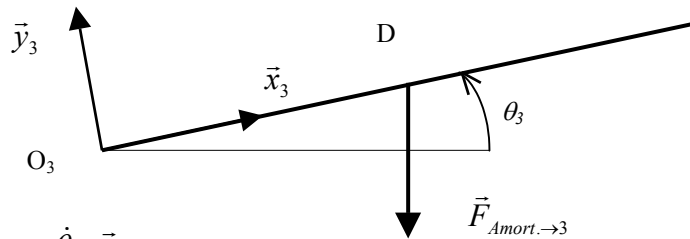
### Q14 – Bénéfices apportés par le ressort

AUCUN,

la machine M1 fonctionne toujours en **FREIN** quand  $\theta_3 \downarrow$  et en **MOTEUR** quand  $\theta_3 \uparrow$ .  
De plus le couple maxi est sensiblement le même.

## AGITATEUR MEDICAL

### Q15 - Présence du ressort et d'un amortisseur – Troisième expression du couple moteur



Rappel :  $\vec{V}_{D,3/0} \approx x_D \cdot \dot{\theta}_3 \cdot \vec{y}$

Donc :  $\vec{F}_{Amort. \rightarrow 3} = -C \cdot x_D \cdot \dot{\theta}_3 \cdot \vec{y}$

$$\Rightarrow P(Amot. \rightarrow 3 / R_0) = \vec{F}_{Amort. \rightarrow 3} \cdot \vec{V}_{D,3/0} = -C \cdot x_D^2 \cdot \dot{\theta}_3^2$$

Par conséquent, il vient :

$$C_m = \frac{1}{\dot{\theta}_1} \cdot (I_{O3z} \cdot \ddot{\theta}_3 + mg \cdot x_G + k \cdot x_D^2 \cdot \theta_3 + C \cdot x_D^2 \cdot \dot{\theta}_3) \cdot \dot{\theta}_3$$

### Q16 – Choix de la solution répondant aux exigences souhaitées

Solution avec **ressort** et **amortisseur unidirectionnel**, car  $C_m > 0$  (M1 fonctionne dans le premier quadrant) et  $C_{m,Max} \approx 3,2 \text{ N.m}$ , alors qu'avec les deux autres solutions proposées  $C_{m,Max} \approx 6,5 \text{ N.m}$ .

## ETUDE DE LA REGULATION EN TEMPERATURE DE L'ENCEINTE

### Q 17 – Signification du sommateur situé en amont du bloc de transfert de la chambre

Prise en compte de la **perturbation** que représente l'énergie calorifique  $q_p$  perdue ou reçue par la chambre.

### Q 18 – Identification de la F.T.B.O. (Voir le Document Réponse page suivante)

La réponse à l'échelon de tension :

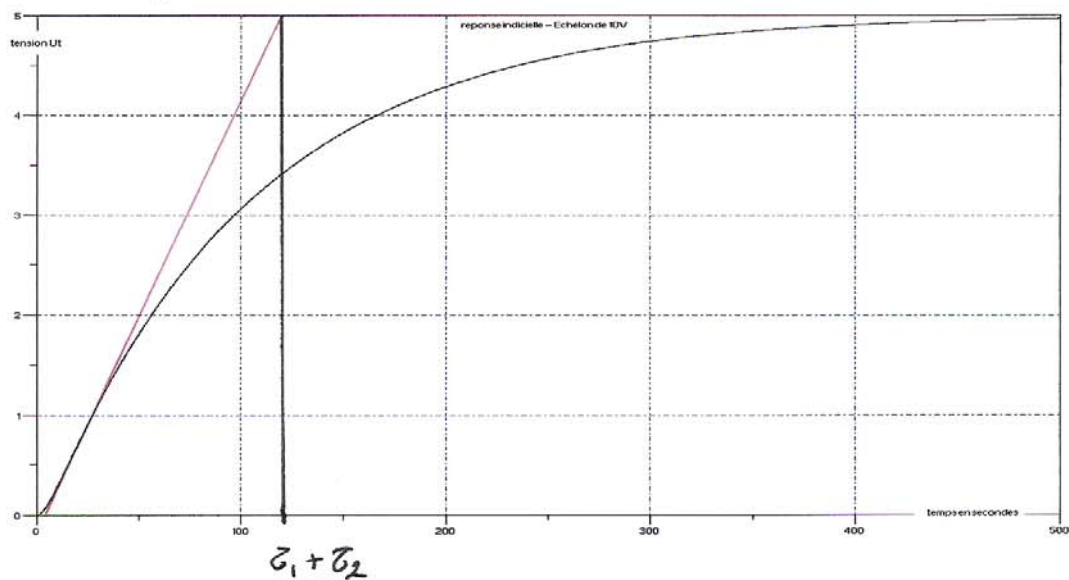
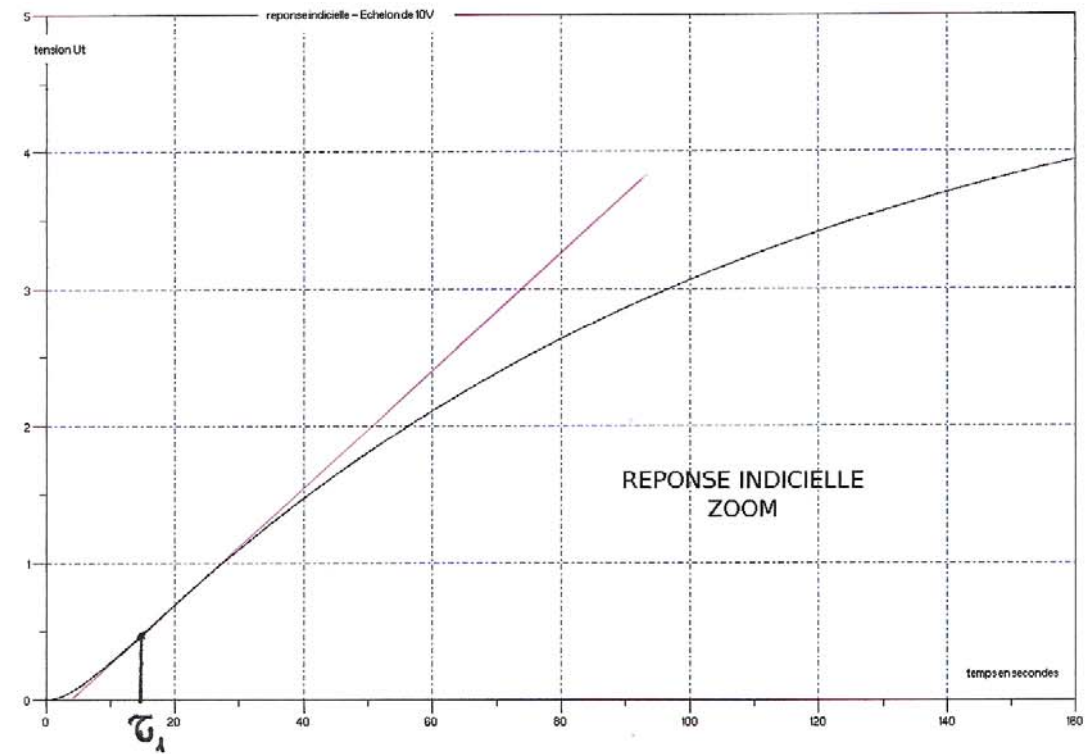
- présente une tangente horizontale à l'origine,
- est apériodique amorti.

Par conséquent la forme proposée, fonction de transfert du **second ordre** avec pôles **réels négatifs** est pertinente.

De toute évidence  $G = 1/2$

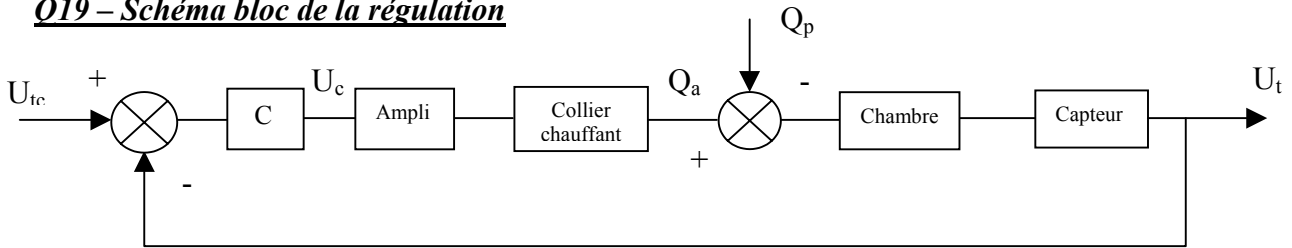
En exploitant la remarque " Si  $\tau_1 \ll \tau_2$  on peut approximer  $\tau_1$  comme l'intersection..." on relève :

- $\tau_1 \approx 15 \text{ s}$
- $\tau_1 + \tau_2 \approx 120 \text{ s} \Rightarrow \tau_2 \approx 105 \text{ s}$

**AGITATEUR MEDICAL****DOCUMENT REPONSE****Question 18 - Réponse indicielle et Zoom**

## AGITATEUR MEDICAL

### Q19 – Schéma bloc de la régulation



### Q20 – Temps de réponse du système régulé

$$H_{bf}(p) = \frac{U_t(p)}{U_{tc}(p)} = \frac{H_{bo}(p)}{1 + H_{bo}(p)} \quad \text{car le retour est unitaire.}$$

$$H_{bf}(p) = \frac{\frac{1}{3}}{1 + \frac{105}{1,5} \cdot p + \frac{500}{1,5} \cdot p^2}$$

D'où l'on déduit :

- la pulsation propre  $\omega_n$  telle que :  $\omega_n^2 = \frac{1,5}{500} = 30 \cdot 10^{-4} \Rightarrow \omega_n = 5,5 \cdot 10^{-2} \text{ rd/s}$

- le facteur d'amortissement  $\xi$  tel que :  $\frac{2 \cdot \xi}{\omega_n} = 70 \Rightarrow \xi = 1,92 \neq 2$

L'abaque « Temps de réponse réduit pour second ordre » retourne :

$\omega_n \cdot t_{5\%} \approx 12 \Rightarrow \underline{t_{5\%} = 218 \text{ s}}$  **Incompatible** avec le cahier des charges (Montée en température rapide : 3 mn maximum).

### Q21 – Ecart de position – Ecart de traînage

Fonction de transfert de classe 0 (zéro)  $\Rightarrow \begin{cases} \varepsilon_p = \frac{1}{1 + G_{FTBO}} \\ \varepsilon_v = \infty \end{cases}$

$\underline{\varepsilon_p = 0,66 \quad 66 \%}$  **Incompatible** avec le cahier des charges.

### Q22 – Diagrammes de Bode de la F.T.B.O.

On procède par superposition :  $H_{bo}(j\omega) = H_1(j\omega) \cdot H_2(j\omega) = \frac{0,5}{1 + j \cdot 5\omega} \cdot \frac{1}{1 + j \cdot 100\omega}$

Pulsations de brisure  $\omega_1 = 0,2 \text{ rd/s}$  ;  $\omega_2 = 0,01 \text{ rd/s}$

**AGITATEUR MEDICAL**

$$\text{Qd } \omega \rightarrow 0 \quad H_{bo} \approx \frac{1}{2} \Rightarrow \begin{cases} G \approx -6\text{dB} \\ \varphi \approx 0 \end{cases}$$

$$G = -6\text{dB} - 10 \cdot \text{Log}(1 + 25 \cdot \omega^2) - 10 \cdot \text{Log}(1 + 10^4 \cdot \omega^2)$$

$$\varphi = -\text{Arc tan}(5 \cdot \omega) - \text{Arc tan}(100 \cdot \omega)$$

$\omega$ (rd/s)	0,01	0,1	1
G (dB)	- 9	- 27	- 60
$\varphi$ (°)	- 48	- 115	- 169

*Valeurs du gain, de la phase à différentes pulsations*

Tracé des lieux asymptotiques et réels : *Voir le Document Réponse page suivante*

**Q23 – Marges de gain, de phase**

Marge de gain :  **$M_G = \infty$**

Marge de phase :  **$M_\varphi = 180^\circ$**

**Q 24 – Réglage du correcteur Proportionnel assurant la stabilité et optimisant les performances du système**

Il faut écarter la solution consistant à régler  $K$  afin que le lieu de transfert en B.O. soit tangent au contour fermé à  $2,3 \text{ dB}$ , car alors le facteur d'amortissement devient inférieur à  $1$ , ( $0,4$  pour un second ordre et le dépassement est environ de  $25\%$ ) ce qui entraînera un dépassement lors la montée en température (Non respect du C.d.C.)

**On règle  $K$**  de telle sorte que  $\xi \geq 1$  ; la réponse indicielle est alors **apériodique critique** ou **apériodique amorti**.

$$H_{bo}(\omega) = \frac{0,5 \cdot K}{1 + 105 \cdot p + 500 \cdot p^2}$$

$$H_{bf}(p) = \frac{U_t(p)}{U_{tc}(p)} = \frac{H_{bo}(p)}{1 + H_{bo}(p)}$$

car le retour est unitaire.

**AGITATEUR MEDICAL**

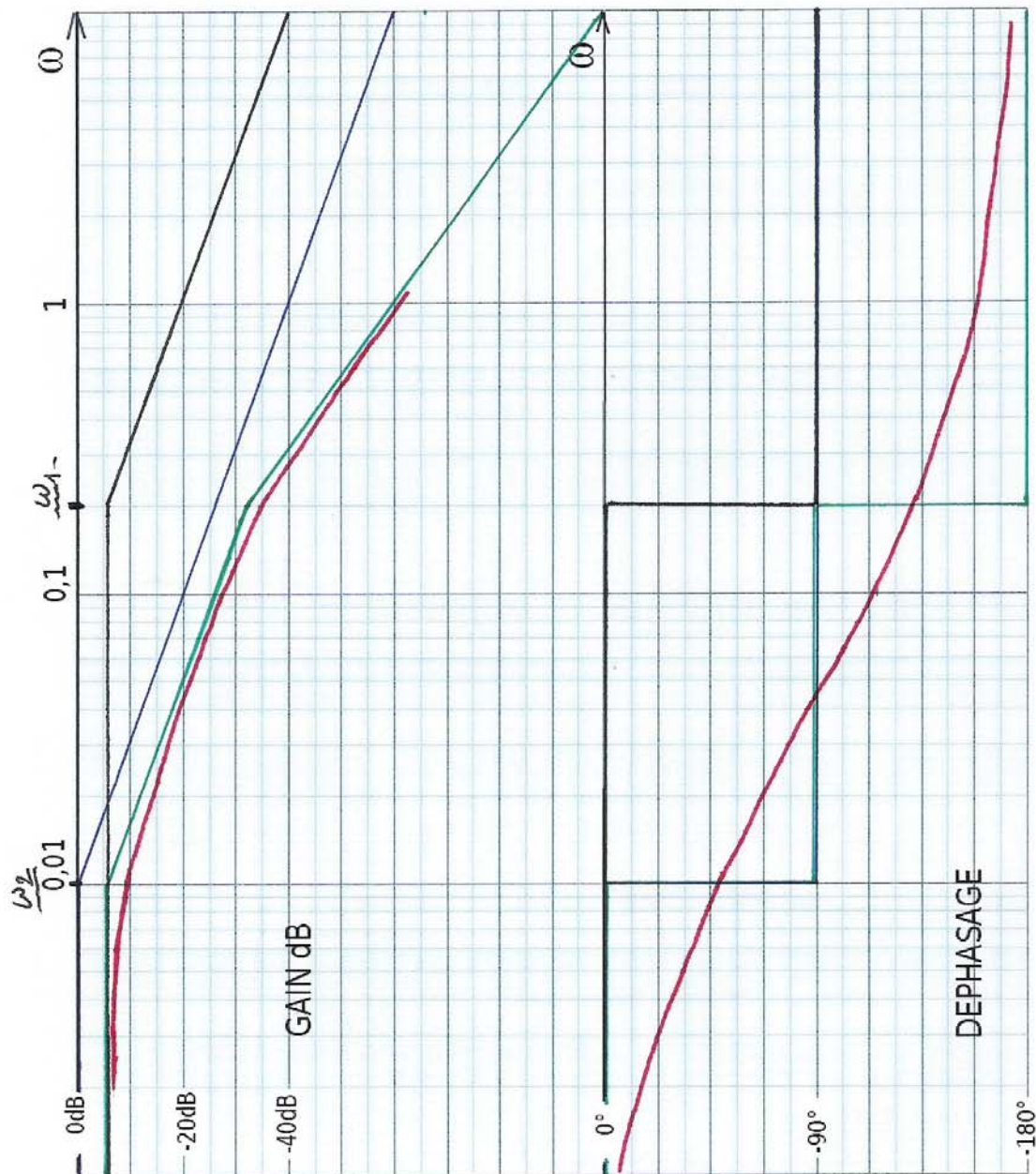
---

$$H_{bf}(p) = \frac{\frac{0,5 \cdot K}{1 + 0,5 \cdot K}}{1 + \frac{105}{1 + 0,5 \cdot K} p + \frac{500}{1 + 0,5 \cdot K} p^2}$$

# AGITATEUR MEDICAL

## DOCUMENT REPONSE

**Question 22 :** *Tracé de Bode*



Tournez la page S.V.P.



## AGITATEUR MEDICAL

Pulsation propre :  $\omega_n = \sqrt{\frac{1 + 0,5 \cdot K}{500}}$

Facteur d'amortissement, il est tel que :  $\frac{2 \cdot \xi}{\omega_n} = \frac{105}{1 + 0,5 \cdot K}$ ,

$$\Rightarrow \xi = \frac{105}{2 \cdot \sqrt{500} \cdot \sqrt{1 + 0,5 \cdot K}}$$

Condition de **non dépassement** :  $\xi \geq 1 \Leftrightarrow K \leq 9,02$

On choisit **K=9** alors  **$\xi \approx 1$**  la réponse indicielle est **apériodique critique**.

Par conséquent, sur le diagramme de Black, **on translate** le lieu de transfert en B.O. **dans la direction verticale** de 20 Log 9, c'est-à-dire d'environ **19 dB**.

### **Q 25 – Eléments de performances, temps de réponse à 5 %, écarts de position et de traînage**

Voir le Document Réponse à la dernière page (Courbe repérée  $H_{b02}$ )

La marge de gain est inchangée :  **$M_G = \infty$**

On relève :  **$M_\phi = 90^\circ$**

**La stabilité est assurée.**

Pulsation propre :  $\omega_n = \sqrt{\frac{1 + 0,5 \cdot 9}{500}} = \sqrt{\frac{5,5}{500}} \approx 0,1 \text{ rd/s}$

L'abaque « Temps de réponse réduit pour second ordre » retourne :

$\omega_n \cdot t_{5\%} \approx 5 \Rightarrow \underline{t_{5\%} = 50 \text{ s}}$  **Compatible** avec le cahier des charges (Montée en température rapide : 3 mn maximum).

Fonction de transfert de classe 0 (zéro)  $\Rightarrow \begin{cases} \varepsilon_p = \frac{1}{1 + G_{FTBO}} \\ \varepsilon_v = \infty \end{cases}$

**$\varepsilon_p = 0,55$**  **55 %** **Incompatible** avec le cahier des charges.

### **Q26 – Tension en entrée de l'amplificateur, tension d'alimentation du collier chauffant lorsque l'échelon de tension de consigne $U_{tc}$ est de 5 V**

A 17° C correspond  $U_c = 0 \text{ V}$ , donc  $U_i = 0 \text{ V}$ .

Si  $U_{tc} = 5 \text{ V} \Rightarrow \underline{U_c = 45 \text{ V}}$ . ( $U_c = K \cdot \varepsilon$ )

Alors  **$U_a = 450 \text{ V}$**  Il y aura **saturation de l'ampli** et donc augmentation du temps de réponse.

## AGITATEUR MEDICAL

### Q 27 – Choix d'un correcteur à action P.I. – Réglage de ce correcteur

$$C(p) = \frac{K}{T_i p} (1 + T_i p)$$

Le réglage du correcteur se fait **par compensation du pôle le plus lent**. Méthode qui consiste à choisir la constante de temps  $T_i$  du correcteur égale à **la constante de temps la plus grande** du système à corriger. On réglera le gain  $K$  du correcteur afin que **la réponse indicielle ne présente pas de dépassement** (on choisit  $\xi = 1$ ). Le choix de  $T_i$  devant satisfaire le C.d.C. (Montée en température rapide : 3 mn maximum).

La F.T.B.O. s'écrit alors :  $H_{bo}(\omega) = \frac{0,5 \cdot K}{T_i \cdot p + 500 \cdot p^2}$

La F.T.B.F. s'écrit alors :  $H_{bf}(\omega) = \frac{1}{1 + \frac{T_i}{0,5 \cdot K} \cdot p + \frac{500}{0,5 \cdot K} \cdot p^2}$

La pulsation propre (non amortie) vaut alors :  $\omega_n = \frac{1}{10} \cdot \sqrt{\frac{K}{10}}$

Le facteur d'amortissement vaut alors :  $\xi = \frac{T_i}{10 \cdot \sqrt{10 \cdot K}}$

On choisit  $\xi = 1$  la réponse indicielle est apériodique critique.

Alors :  $K = 10^{-3} \cdot T_i$

On a toujours :  $\omega_n \cdot t_{5\%} \approx 5$  puisque  $\xi = 1$

Tableau des valeurs de  $K$ ,  $\omega_n$ ,  $t_{5\%}$  en fonction du choix de  $T_i$

$T_i$	$K$	$\omega_n$	$t_{5\%}$	Commentaires
5 s	$25 \cdot 10^{-3}$	$5 \cdot 10^{-3}$ rd/s	1 000 s	<b>A rejeter</b>
<b><u>100 s</u></b>	10	0,1 rd/s	<b><u>50 s</u></b>	<b>A RETENIR</b>

Tracé du lieu de transfert de la F.T.B.O. dans le plan de Black :

$$H_{bo}(j\omega) = \frac{5}{j \cdot 100\omega \cdot (1 + j \cdot 5\omega)}$$

Gain :  $G = -26 \text{ dB} - 20 \cdot \text{Log} \omega - 10 \cdot \text{Log}(1 + 25 \cdot \omega^2)$

Argument :  $\varphi = -90^\circ - \text{Arc tan}(5\omega)$

$\omega$ (rd/s)	0,01	0,1	0,2	1
G (dB)	14	- 7	- 15	- 40
$\varphi$ (°)	- 93	- 117°	- 135	- 169

## AGITATEUR MEDICAL

---

*Valeurs du gain, de la phase à différentes pulsations*

Compte tenu de la forme de la F.T.B.O. , le lieu de transfert présente deux asymptotes verticales d'équations  $\varphi = -90^\circ$  et  $\varphi = -180^\circ$  .

*Voir le Document Réponse à la dernière page (Courbe repérée  $H_{b03}$ )*

La marge de gain est inchangée :  $\underline{M_G} = \infty$

On relève :  $\underline{M_\varphi} \approx 77^\circ$

**La stabilité est assurée.**

### **Q 28 – Nouvel écart de position**

Le système est de **classe 1**  $\Rightarrow$   $\underline{\varepsilon_p} = 0$

---

## **AGITATEUR MEDICAL**

---

# AGITATEUR MEDICAL

## DOCUMENT REPONSE

### Question 24 - Tracé de Black

